

III-52 防潮林による潮勢及び潮位の変化について

名古屋大学工学部 正員 井町勇

1. 假定。 実速度 V , 高さ h_0 の一定常な高潮が 傾角 θ の海岸に押出された場合と想定し、以後流れを その $1/2$ 水位における準定常一次元流として取扱う。斜面には一様な林帯があり、その抵抗は 速度の自乗および水高に比例する樹幹抵抗と 速度に比例する地面抵抗とからなるとする。

2. 記号。

†/ 参照、その他に γ など

t : 時間, g : 重力加速度, ρ : 水密度

Ω : 位置のエネルギー, T : 運動のエネルギー

$$\alpha = \sin \theta - \frac{dz}{dx} \cos \theta, \quad \beta = \cos \theta + \frac{dz}{dx} \sin \theta$$

$D = \bar{c}_x \rho u^2 (h/2)$: 樹幹抵抗

$F = \bar{c}_z \rho u' u$: 地面抵抗 (u' は地表流速)

$$k = \bar{c}_x + 2\bar{c}_z / \sqrt{h_0}, \quad H = h_0 V^2 / g, \quad G = \sqrt{khH / 2z'}$$

$$z' = dz/dx = \tan \phi$$

3. 運動の方程式。

$$\text{連続の条件: } V h_0 = u h, \quad \text{同時に } \frac{\partial u}{\partial z} + \frac{\partial w}{\partial \xi} = 0 \quad \text{従って} \quad w = -5 \frac{\partial u}{\partial z} \quad (1), (2)$$

エネルギーの表示:

$$U = (\rho h_0 V) g z \quad (3)$$

$$T = \frac{\rho}{2} \int_0^{h_0} \int_{-z'/2}^{+h/2} (u^2 + w^2) d\xi dz = \frac{1}{2} (\rho h_0 V) \frac{h_0^2 V^2}{h^2} \left\{ 1 + \frac{1}{12} \left(\frac{dh}{dz} \right)^2 \right\} \quad (4)$$

$$\text{幾何学的関係: } \frac{dz}{dx} = \tan \theta, \quad \frac{dz}{dx} = z' = \tan \phi = \text{一定}, \quad z = z_i + \frac{h}{2} \cos \theta, \quad x = x_i - \frac{h}{2} \sin \theta$$

$$\frac{d\xi(P)}{dx} = \alpha - \frac{\partial h}{\partial x} = 0, \quad \frac{d\xi(P)}{dx} = \beta$$

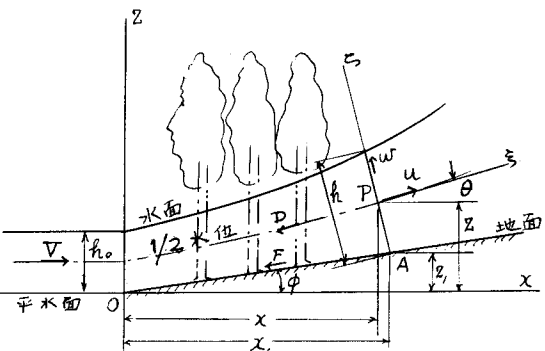
$$\text{故に} \quad \alpha = \frac{\partial h}{\partial x}, \quad \beta = \sqrt{1 + z'^2 - \alpha^2}, \quad \sin \theta = \frac{1}{1+z'^2} (\alpha + z'/\beta), \quad \cos \theta = \frac{1}{1+z'^2} (\beta - z'/\alpha), \quad \frac{\partial h}{\partial z} = \frac{2}{\beta} \alpha. \quad (5)$$

$T + U$ を計算し、樹幹抵抗は流心に平行し、地表抵抗は地表に平行して作用する。運動方程式 $d(T + U) = -\{D + F/\cos(\theta-\phi)\} u dx$ を作る ($u' = u/\cos(\theta-\phi)$ とする)

$$\begin{aligned} z' + \alpha \frac{\beta - z'/\alpha}{1+z'^2} - \frac{V^2}{g} \frac{(h_0/2)^2}{(h/2)^2} \alpha \left\{ 1 + \frac{1}{3} \frac{x^2}{\alpha^2} \right\} + \frac{\partial \alpha}{\partial x} \left\{ -\frac{h}{2} \frac{1}{1+z'^2} \left(\frac{\alpha}{\beta} - z' \right) + \frac{V^2}{2g} \frac{(h_0/2)^2}{(h/2)^2} \frac{2\alpha}{3\beta^2} (1+z'^2) \right\} \\ + \frac{V^2}{2g} \frac{(h_0/2)^2}{(h/2)^2} \left\{ \bar{c}_x \beta + \frac{\bar{c}_z}{V(h_0/2)} \frac{1+z'^2}{\alpha} \right\} = 0 \end{aligned} \quad (6)$$

β, α は $\partial(h/2)/\partial x$ の函数であるから (6) は $x/2$ の二階微分方程式となる。

4. 抵抗のない場合の解。



第 1 図

(6) $\tau \cdot \bar{c}_x = \bar{\mu} = 0$ とおくと

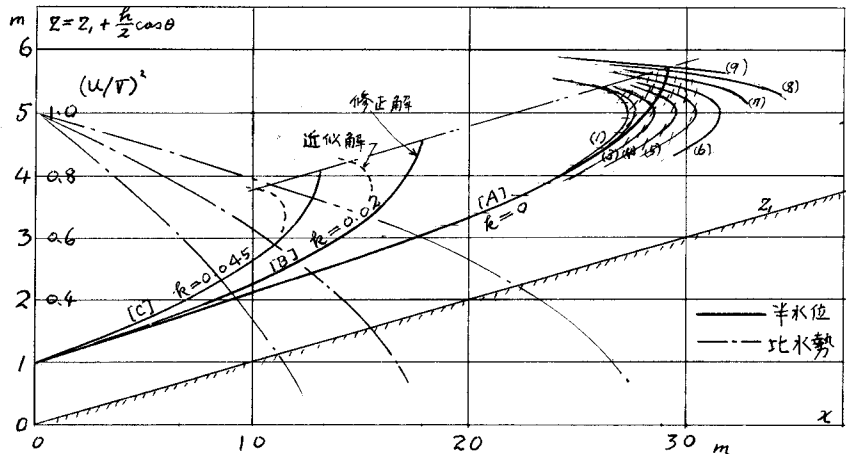
$$Z_1 = Z'_1 \cdot e = \frac{h_0}{2} - \frac{R}{2} \cos \theta + \frac{V^2}{2g} \left\{ 1 - \left(\frac{R}{h_0/2} \right)^2 \left(1 + \frac{1}{3} \frac{R}{h_0} \right) \right\} \quad (17)$$

これを因式 τ とおくと $\alpha = d(h_0/2)/dx$, $\theta = \pi/2 - \frac{R}{2} \cdot x/Z_1$ の函数となる (従って $x \sim z$) 曲線をえがく。かゝる多くの曲線群から等傾圖法によつて正しい $x \sim z$ 曲線を確定する。

第2図 [A] 計算

例 $\tau = 3$ 。

(1)	$\alpha = 0$,	$dZ/d\alpha = 0$
(2)	0.2,	0.309
(3)	0.4,	0.583
(4)	0.5	0.714
(5)	0.6	0.912
(6)	0.7	1.18
(7)	0.8	1.63
(8)	0.9	2.64
(9)	0.95	4.1



第2図 計算例 $\tau = 10 \text{ m/s}$, $h_0 = 2 \text{ m}$, $\tan \phi = 0.1$

5. 抵抗のある場合の解。

(6) 式より $d\alpha/dx_1 = \text{Const.}$ とおくと $\alpha \sim h/2$ の曲線群が得られる。この図表から正確な $\alpha \sim h/2$ 曲線が確定できたが計算は面倒である。従つて先づ α を小さく見ると (6) は

$$Z'_1 = \frac{dh}{dx_1} \left(\frac{1}{2} - \frac{h}{h_0} \right) + \frac{1}{2} \frac{h}{h_0} R \approx 0 \quad (18)$$

となる。これが式 (9) を得る。

$$Z_1 = -\frac{1}{2Z'_1}(h-h_0) + \frac{G}{2Z'_1} \left(\tan^{-1} \frac{h}{G} - \tan^{-1} \frac{h_0}{G} \right) + \frac{1}{R} \log_e \frac{1+G/h_0}{1+G/h} \quad (19)$$

(9) は α の大きさと (3) 即ち極限水位附近では適用できないが、この附近は抵抗が小さいので (6) から (9) の解を継続して修正すれば正しい解が得られる。第2図 B, C 曲線はかくして得られた結果である。

6. 註記。

この解は限限水位附近ではよく用いられるが、又抵抗特性的面で坑口付近では解定じた問題がある。しかし水位の上昇、浸水距離 および水勢 Pu の変化について大体の傾向を知ることはできるであろう。